

مطالعه ژئوشیمیایی و محیط زمین‌ساختی - ماقمایی توده‌های نفوذی اولترامافیک تا حد واسط کمپلکس چاه قند

(بخش جنوبی زون سنتدج - سیرجان)

نوشته: سیروس اترودی *، دکتر منصور وثوقی عابدینی ** و دکتر سید محمد پورمعافی **

Tectonomagmatic Environment of Ultramafic – Intermediate Intrusions in Chahghand Complex (South Part of Sanandaj – Sirjan Zone)

By: S.Otrodi*, Dr. M. Vossoughi Abedini ** and Dr. M. Pourmoafi

چکیده

مجموعه چاه قند در شمال خاوری نیریز و جنوب باختری شهر بابک واقع شده است. در این مجموعه علاوه بر سنگهای دگرگونی و توده‌های گرانیتوییدی، سنگهای اولترامافیک، مافیک تا حد واسط نیز وجود دارد که شامل پپروکسینت، اولیوین گابریو و دیوریت می‌باشند. بررسیهای جامع سنگ نگاری، ژئوشیمی، الگوهای چند عنصری (عناصر جزئی و خاکی کمیاب) و نمودارهای زمین‌ساختی-ماقمایی سنگهای اولترامافیک تا حد واسط ماهیت قلیایی آنها و تشکیل به واسطه درجه‌های کم ذوب بخشی از یک سنگ منشأ گوشته‌ای لرزولیتی را نشان می‌دهند. فراوانی عناصر LREE و تهی شدگی در عناصر HFSE آنها با الگوهای وجه مشخصه بازالت‌های درون صفحه‌ای جایگاه قاره‌ای مطابقت دارد و در نتیجه وجود یک محیط کافت درون قاره را، در نوار سنتدج - سیرجان در محدوده زمانی تریاس تا ژوراسیک، برای ماقماتسیسم توده‌های اولترامافیک تا حد واسط مجموعه چاه قند پیشنهاد می‌کند.

کلید واژه‌ها: ژئوشیمی، محیط تکتونوماگمایی، توده‌های نفوذی، مجموعه چاه قند، زون سنتدج - سیرجان.

Abstract

Chahghand complex is located in the northeast of Neyriz and southwest of Shahre-Babak. This complex consists of granitoid and metamorphic rocks, ultramafic, mafic and intermediate intrusive rocks, inwhich pyroxenite, olivine gabbro and diorite occur.

Alkaline character of the complex is revealed by detailed petrography, geochemistry, multielement patterns (trace and rare earth elements) and tectonomagmatic diagrams. It seems that the generation of these rocks corresponds to the lower degree of partial melting from a lehrzolitic mantle source rock.

The enrichment of LREE, LILE and depletion of HFSE elements coincide with patterns characteristics of intraplate continental setting; as a result, an intracontinental rift environment in Sanandaj-Sirjan zone during Triassic Jurassic for Chahghand complex magmatism is suggested.

Keywords: Geochemistry, Tectonomagmatic environment, Chahghand complex, Sanandaj-Sirjan zone,

مقدمه

مجموعه در بخش جنوبی زون سنتدج سیرجان (شکل ۱) و در محدوده نقشه زمین‌شناسی به مقیاس ۱:۱۰۰۰۰۰ کرسید قرار دارد (شکل ۲). سنگها به طور عمده شامل اولیوین کلینوپپروکسینت پلاژیو کلازدار، اولیوین گابریو،

بابک در عرضهای جغرافیایی $۳۰^{\circ} ۳۲' ۲۹^{\circ} ۳۰'$ شمالی و طولهای جغرافیایی $۵۴^{\circ} ۵۲' ۵۵^{\circ} ۷$ خاوری واقع شده است. این

رخهای صفحات (۰۰) قابل تشخیص هستند. کانی اولیوین با مقدار کمتر از ۴۰ درصد در سنگ موجود بوده و اینک به کانیهای سرپاتین، تالک، کلریت و اکسیدهای آهن تبدیل شده است.

پلازیوکلاز با محدوده ترکیب شیمیایی لابرادوریت که گاه تا ۸ درصد حجم سنگ را در بر می گیرد، در فضای میان کلینوپیروکسنها و اولیوین جای گرفته و گاه در محل تماس آن با اولیوین حاشیه کلیفیتی ایجاد شده است که نمایانگر واکنشهای ساب سولیدوس و ورود محلولها به مقدار ناچیز در مرز دو کانی است. در پلازیوکلازهای دگرسان شده، سریسیت یا مجموعه‌ای از کانیهای متفاوت دیده می‌شود. کانی مات (از نوع کرومیت، مگنتیت و هماتیت) به صورت اولیه و ثانویه در سنگ موجود است و آپاتیت به صورت پراکنده در نمونه‌ها دیده می‌شود.

یکی دیگر از کانیهایی که گاه در این سنگها وجود دارد ارتوپیروکسن است. این کانی فقط در مکانهایی که عمل آلایش با سنگهای پلیتی صورت گرفته مشاهده می‌شود. (Sabzehi & Watters, 1972) و سبزه‌بی و همکاران (۱۹۹۵) نیز قبل این پدیده را بیان کردند.

اولیوین گابروها

این سنگها تمام بلورین با دانه بندی درشت تا متوسط هستند و در بررسی مقاطع نازک گاهی تغییرات تدریجی به سمت اولیوین کلینوپیروکسنیتهای پلازیوکلازدار نشان می‌دهند. بافت آنها پوی کلیتیک و افیتیک است و در این حالت درشت بلورهای هورنبلند قهوه‌ای یا سبز، دانه‌های اولیوین، پلازیوکلاز یا بقایای پیروکسنها را احاطه کرده‌اند. کانیهای اصلی این سنگها را پلازیوکلاز از نوع لابرادوریت، پیروکسن و اولیوین تشکیل می‌دهند و کانیهای فرعی عبارتند از: تیتانیت، آپاتیت، مات (شامل مگنتیت، کرومیت، ایلمنیت، هماتیت با تیغه اسپینل، کلکوپیریت و پیروتیت)، تورمالین، زیرکن و ارتوپیروکسن.

گابروها

تنها تفاوت آنها با اولیوین گابروها در نداشتن کانی اولیوین است.

دیوریتها

این سنگها به طور معمول هم‌جوار با اولیوین گابروها و گابروها هستند. مطالعات سنگنگاری و ژئوشیمیایی ارتباط زایشی این سنگها را با اولیوین گابروها تأیید می‌کند. اما تماس آنها با این سنگها در مشاهدات صحرایی ناگهانی به نظر می‌رسد. دیوریتهای چاه قند اغلب توسط دایکهای گرانیتی قطع شده‌اند. این سنگها مزوکرات بوده و با رنگ سبز تا خاکستری و

گابرو و دیوریت هستند. این مجموعه سنگی آذرین با نفوذ در میان سنگهای پلیتی، کوارتز فلدسپاتی پرمین بالا، که یک رویداد دگرگونی ناحیه‌ای قبلی را تحمل کرده بودند، باعث دگرگونی همیری شده، که درجه دگرگونی آن از رخساره پیروکسن هورنفلس تا رخساره آلیت اپیدوت هورنفلس می‌رسد. به علاوه، افزایش درجه زمین گرمایی در کل منطقه، باعث ذوب بخشی متابلیتها و سنگهای کوارتز فلدسپاتی و در نتیجه تولید ماقمایی گرانیتوییدی شده که نفوذ آن در سنگهای آذرین و دگرگونی چاه قند، تغییرات کانی‌شناسی عمده‌ای را موجب شده است. در نهایت در فازهای کوهزایی پس از کرتاسه، تمام سنگها در رخساره شیست سبز دگرگون شده‌اند. سن توده نفوذی در محدوده زمانی تریاس تا ژوراسیک قرار می‌گیرد (سبزه‌بی و همکاران، ۱۹۹۵).

سنگنگاری و روابط صحرایی سنگهای آذرین و دگرگونی توده نفوذی چاه قند توسط محققان مختلف بررسی شده است (Sabzehi and Watters, 1972)

در پژوهش اخیر، علاوه بر مطالعات سنگنگاری، ژئوشیمی، زایش، منشأ ماقمایی و جایگاه زمین ساختی – ماقمایی سنگهای اولترامافیک، مافیک تا حد واسط این مجموعه بررسی شده است. در این ارتباط از ۱۰۰ نمونه برداشت شده مقاطع نازک برای مطالعات سنگنگاری، ۱۰ نمونه به روش XRF و به منظور تکمیل داده‌های عناصر جزئی و خاکی کمیاب از این تعداد، ۷ نمونه با روش INAA تعزیز شیمیایی شدند.

سنگنگاری

در منطقه کوهستانی چاه قند به دلیل چهره دگرسان شده توده نفوذی و وسعت زیاد سنگهای دگرگونی، تعقیب روابط میان سنگها دشوار است و تفکیک میان نمونه‌های اولترامافیک و مافیک تنها پس از بررسی مقاطع نازک آنها انجام شده است. در این منطقه سنگهای نفوذی به صورت توده‌هایی منفرد به مساحت تقریبی ۵۰ تا ۴۰۰ متر مربع در ستیغها رخمنون دارند. رنگ کاملاً تیره، آثار فرسایش پوست پیازی، وجود پولکهای براق بیوتیت و گاه آمفیبول هورنبلند در سنگهای اولترامافیک و مافیک، آنها را از سنگهای دگرگونی تمایز ساخته است.

اولیوین کلینوپیروکسنیت پلازیوکلازدار

ضریب رنگینی آنها با سنگهای هولوملانوکرات مطابقت دارد و بافت آنها دانه‌ای هیپ ایدیومورف، پوی کلیتیک و افیتیک است. کانیهای تشکیل دهنده این سنگها کلینوپیروکسن، اولیوین و کانیهای فرعی از نوع پلازیوکلاز، مات و آپاتیت است.

کلینو پیروکسنها عمدتاً به ترمولیت - اکتینولیت، هورنبلند سبز تا قهوه‌ای، بیوتیت و گاه فلوگوپیت تبدیل شده‌اند و از طریق

با افزایش ضریب تفریق D.I اکسیدهای سیلیسیم، تیتانیم، سدیم، پاتاسیم و فسفر افزایش یافته در حالی که اکسیدهای منیزیم و آهن کاهش نشان می دهند.

سری ماگمایی

در نمودارهای مختلف تعیین سری ماگمایی بر اساس اکسید سیلیسیم در مقابل مجموع قلاییها، نمونه ها بیشتر در قلمرو قلایی و یا محدوده هم ارز با بازالت های قلایی اولیوین دار قرار می گیرند. مهم ترین این نمودارها مربوط به Middlemost (Irvine & Baragar 1971), Winchester & Middlemost (1991) و Floyd (1977) است (شکل A۶ تا C۶). در نمودار (Irvine & Baragar 1971) اولیوین کلینوپیروکسینت و بعضی از اولیوین گابروها و گابروها در محدوده اولیه و بقیه نمونه ها در محدوده حد واسط قرار می گیرند.

در نمودار نوروم CIPW (نمودار سه تایی Opx-Cpx-OI) در (Irvine & Baragar 1971) به دلیل ظاهر شدن اولیوین و نفلین در نوروم سنگ های اولترامافیک و مافیک، این سنگ ها در محدوده معادل با بازالت های زیر اشباع (آلکالی اولیوین بازالت ها) رسم می شوند (شکل D۶).

زايش

به منظور در ک تحولات ماگمایی و زایش توده های نفوذی مجموعه چاه قند، میانگین عناصر خاکی کمیاب و جزئی نمونه ها با الگوهای مختلفی عادی سازی شده اند.

- مقایسه با الگوی Taylor & McLennan (1985) : در این نمودار (7A) نمونه های توده نفوذی در کلیه عناصر REE غنی شده اند. نمودار شب منفی دارد و با توجه به نسبتهای $n_{(La/Lu)}$ و $n_{(La/Yb)}$ که به ترتیب تعدادی برابر $6/0.9$ تا $24/9$ و $5/32$ تا $41/4$ دارند معلوم می شود تکیک شدید LREE ها نسبت به HREE ها صورت گرفته است. سنگها بی هنجاری جزئی منفی Eu (Eu/Eu*) بین $0/8$ تا $0/99$ دارند که به تبلور بخشی پلازیو کلاز مرتب می شود.

- مقایسه با الگوی مورب N (1989) Sun & Mc Donough : نمودار (7B) دارای شب منفی است و در عناصر LREE غنی شدگی و در HREE ها تهی شدگی دیده می شود. با توجه به فقر عناصر HREE می توان گفت که این عناصر در سنگ مشاً در فازهای باقیمانده ای چون گارنت (Wilson, 1989) به واسطه ذوب بخشی درجه کم، به جا مانده اند.

- مقایسه با بازالت های قلایی درون صفحه ای (1980) Sun : (شکل 7C) که در آن نمونه های مجموعه چاه قند در عناصر LILE (به غیر از تهی شدگی Sr) که می تواند نتیجه تبلور بخشی پلازیو کلاز باشد) غنی شدگی

فراوانی پولکهای براق بیوتیت در آنها مشخص می شوند. بافت آنها دانه ای هیب ایدیومورف دانه درشت تا متوسط و گاه پورفیری متوسط است.

کانیهای اصلی دیوریتها عبارتند از: پلازیو کلاز با ترکیب آندزین، که گاه ساخت منطقه ای نشان می دهد و هورنبند سبز تا قهوه ای تیتان دار که در حال تبدیل به بیوتیت است و در مواردی تکیکی تیتان در آن شیشه زاگیت ایجاد کرده است. تیتانیت، مات، آپاتیت، زیرکن، میکروکلین و کوارتز کانیهای فرعی سنگ هستند.

تغییرات ترمودینامیکی در اولیوین پیروکسینتها، اولیوین گابروها و گابروها چاه قند موجب ظهر آمفیولهای مختلف شده است. رخساره های دما پایین با اکتینولیت مشخص می شوند و در دماهای بالاتر هورنبند پدید می آید. حد بین دو کانی در توده های نفوذی چاه قند کاملا مشخص و ناگهانی است، هر چند ممکن است هورنبلندهای حد واسط نیز وجود داشته باشد (یاردلی، ۱۹۹۲). از آنجا که افزایش دما باعث افزایش محتواهای تیتانیم در هورنبند می شود (بارکر، ۱۹۹۰)، احتمالا هورنبلندهای موجود در سنگ های توده نفوذی چاه قند از نوع بارکه ویسیت یا کرسوتیت (هورنبند تیتان دار) هستند (هاچ، ۱۹۷۵).

بررسی سنگ نگاری توده نفوذی چاه قند نشان می دهد که با افزایش دما کانیهای اکتینولیت، هورنبند قهوه ای و هورنبند سبز به ترتیب جای خود را به دیگری داده اند و تبدیل هورنبند سبز به بیوتیت تحت تأثیر دگرگونی در رخساره شیست سبز صورت گرفته است.

نامگذاری: برای رده بندی سنگ های اولترامافیک تا حد واسط چاه قند از نتایج تجزیه مodal و شیمیابی استفاده شده است. در نامگذاری مodal سنگها، نمودار (Streckeisen 1979) (شکل ۳) و در نامگذاری شیمیابی نمودار Cox et al (1979) بر اساس درصد وزنی اکسیدهای قلایی و سیلیس به کار گرفته شده است (شکل ۴). بر طبق این نمودارها محدوده ترکیب شیمیابی نمونه ها به طور عمده اولیوین کلینوپیروکسینت پلازیو کلازدار، اولیوین گابر، گابر و دیوریت است.

زنگنه

نتایج تجزیه شیمیابی عناصر اصلی، جزئی و خاکی کمیاب 10 ppm نمونه از سنگها مجموعه نفوذی چاه قند در جدول ۱ آورده شده است. به منظور بررسی ارتباط ژنتیکی میان نمونه ها، از نمودارهای تغییرات اکسیدهای عناصر مختلف در مقابل ضریب تفریق D.I استفاده شده است (شکل ۵). ترتیب قرار گیری سنگها در نمودارها، اگر چه به دلیل دگرسانی، پراکندگی جزئی نشان می دهند، نمایانگر وجود هم خوانی و قرابت سنگ های توده نفوذی چاه قند و تشکیل آنها از یک ماگما در اثر فرایند تفریق است.

در محدوده معادل با بازالت‌های قلیایی درون صفحه‌ای (WPB) قرار می‌گیرند.

همچنین برای تعیین منشأ غنی شدگی سنگهای توده نفوذی ازنودار Th/Yb در برابر Ta/Yb (Pearce 1980) استفاده شده است (شکل ۹) که جدایش نمونه‌ها از سنگ منشأ گوشه‌ای غنی شده و نقش غنی شدگی درون صفحه‌ای و آلایش پوسته‌ای را در تغییر ماهیت آنها به نمایش می‌گذارد.

با توجه به مشخصه‌های سنگ‌نگاری، ژئوشیمیایی، الگوهای چند عنصری (طرحهای عنکبوتی و ناصر کمیاب) و نیز نمودارهای فوق، الگوی زمین ساختی - مآگمایی زیر برای تشکیل و تکوین سنگهای نفوذی مجموعه چاه قند پیشنهاد می‌شود:

به واسطه درجات کم ذوب بخشی در مواد لرزولیتی گوشه بالایی در یک محیط کافت درون قاره‌ای، در محدوده زمانی تریاس تا ژوراسیک، یک مآگمای قلیایی ایجاد شد. این مآگما در ستون سنگهای دگرگونی متعلق به پرمین بالا نفوذ کرد و تحت تأثیر غنی شدگی داخل صفحه‌ای و هضم مواد پوسته‌ای در عناصر خاکی کمیاب سبک (LREE) و عناصر لیتوفیل درشت یون (LILE) غنی گردید. شواهد فوق حکایت از آغاز کافته دارد که در آخر پالئوزویک-ابتدا مژوزویک ایجاد شده و می‌رود که نوتبیس را خلق کند.

نشان می‌دهند و در عناصر HFSE (جز دیبوریت که محتوای Nb آن در محدوده بازالت‌های قلیایی درون صفحه‌ای است) تهی شدگی دارند.

- مقایسه با الگوی مورب (Pearce 1983) (شکل D) که در آن نمونه‌های توده نفوذی با داده‌های مربوط به کافه‌های گرگوری جنوبی (کنیا) Barberi et al. (1977) و بونینا عفار (ایتالی) (1975)

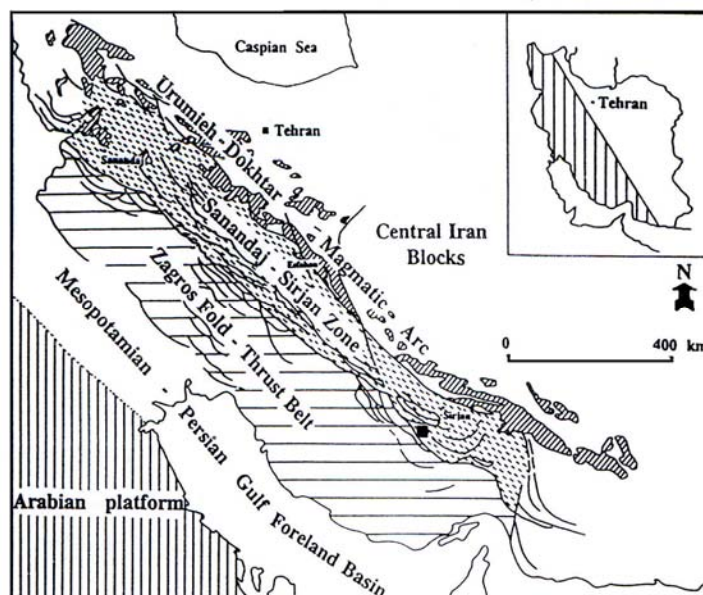
مقایسه شده‌اند و شباهت میان نمونه‌ها به وضوح معلوم می‌شود.

فراآوانی روی هم رفته زیاد REE‌ها، طرحهای REE با شب منفی (در الگوی مورب) و نمودارهای عنکبوتی غنی شده در LILE‌ها و تهی شده در HFSE‌ها در نمونه‌های مجموعه چاه قند به الگوهای وجه مشخصه بازالت‌های درون صفحه‌ای جایگاه قاره‌ای Pearce (1983) شباهت نشان می‌دهد. به علاوه غنی شدگی در LILE‌ها می‌تواند نمایانگر درجه کمتر ذوب بخشی و یا سنگ منشأ گوشه‌ای نسبتاً عمیق باشد.

محیط زمین ساختی - مآگمایی و نتیجه‌گیری

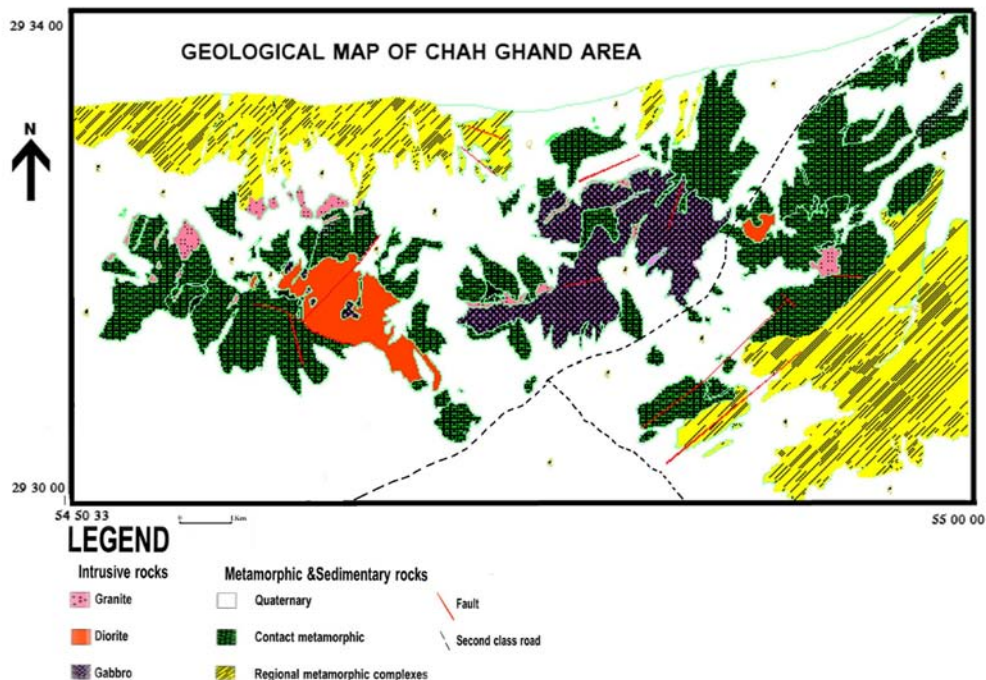
به منظور تشخیص جایگاه زمین ساختی - مآگمایی سنگهای نفوذی مجموعه چاه قند از نمودارهای مثالی مختلفی مانند Zr در برابر Prarce & Norry (1979) Zr/Y, Pearce & Cann (1973) (1986) Ti/100-ZrY³, Meshede Zr/4-Nb²-Y, Holm (1985) TiO₂-Nb/3-Th

استفاده شده است که بر مبنای عناصر با قدرت میدان بالا و نیز عناصر خاکی کمیاب قرار دارند (شکل ۸). بر مبنای این نمودارها، نمونه‌های توده نفوذی

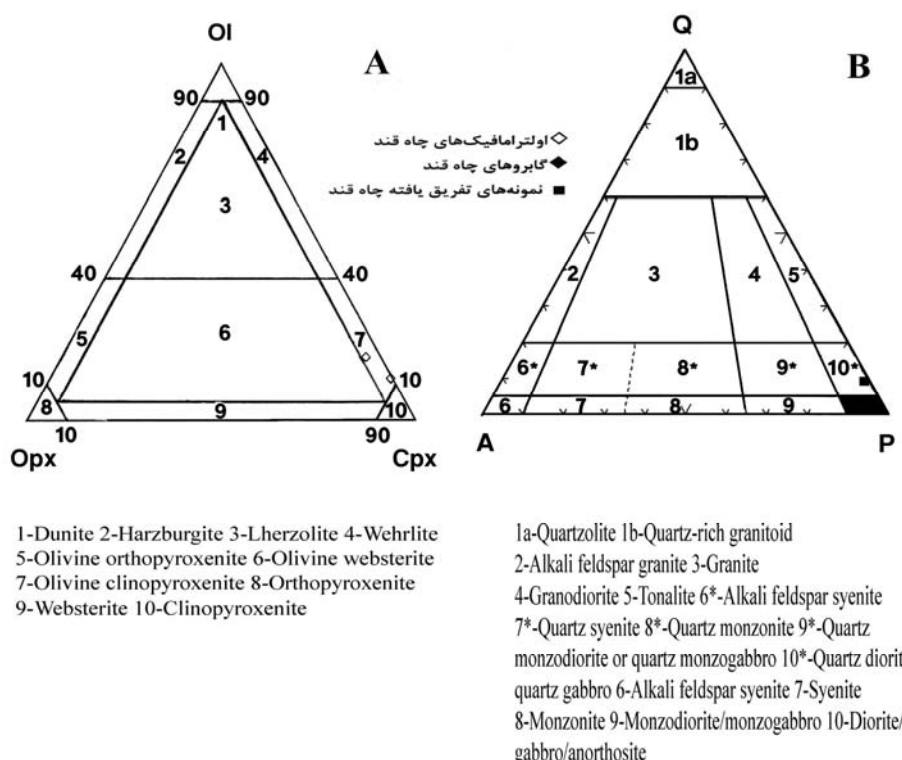


شکل ۱- زیر پهنه‌های زون سنترج- سیرجان (اقتباس از مجله و سهندی، ۱۳۷۸).

در این شکل موقعیت منطقه مورد مطالعه با مریع مشخص شده است

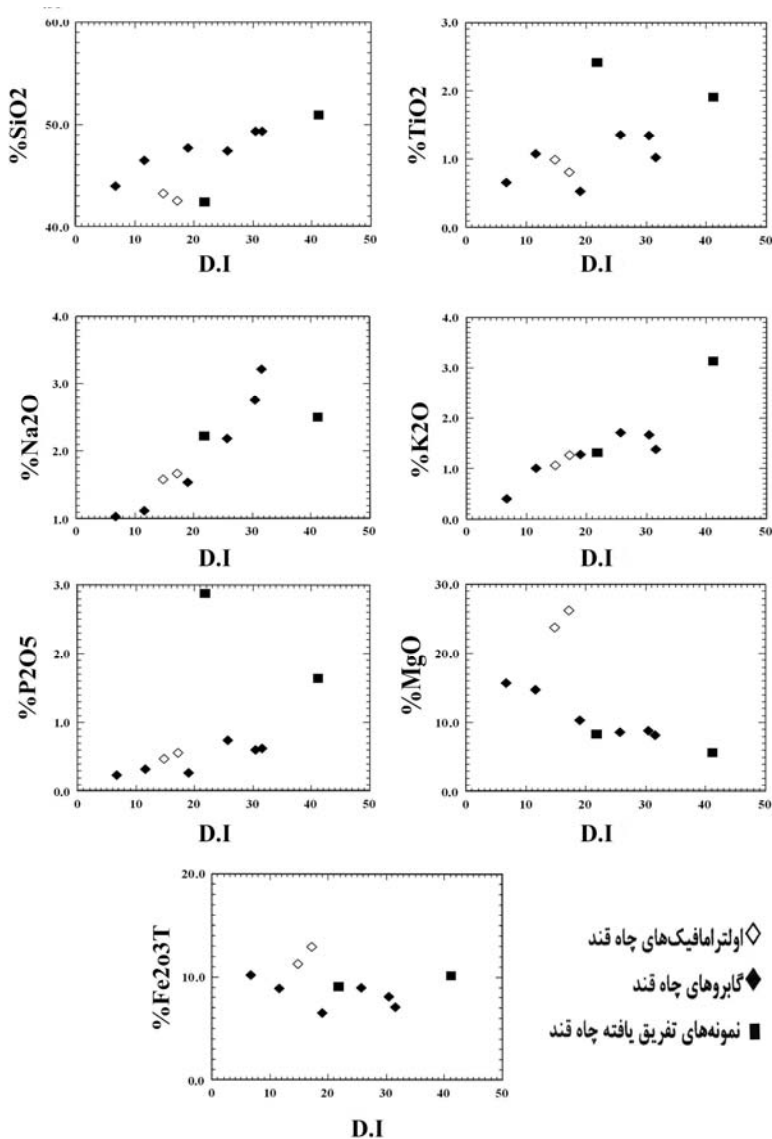
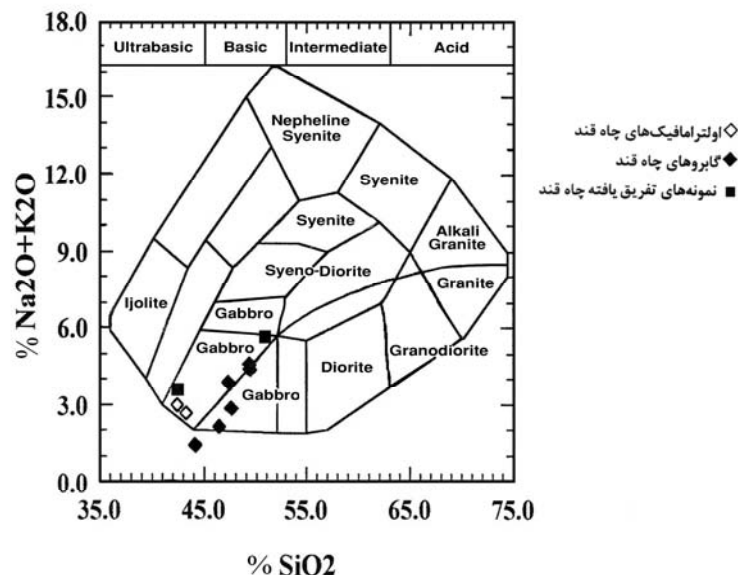


شکل ۲- نقشه زمین شناسی ساده شده منطقه مورد مطالعه



شکل ۳- موقعیت قرارگیری مodal نمونه‌های توده نفوذی چاه قند در نمودارهای مثنا (1979) Streckeisen
 (A) سنگهای اولترامافیک (B) سنگهای مافیک و حد واسط

شکل ۴- موقعیت قرارگیری نمونه های توده نفوذی چاه قند در نمودار مجموع قلاییها در برابر سیلیس (Cox et al. 1979) که برای سنگهای پلوتونیک اصلاح شده است (Wilson, 1989). خط پر (Miyashiro, 1978)



شکل ۵- نمودار تغییرات اکسیدهای مختلف (Harker, 1909) بر حسب درصد وزنی در برابر ضربت تفریق D.I. در سنگهای اولترامافیک تا حد واسط مجموعه چاه قند

شکل ۶- موقعیت نمونه های اولترامافیک تا حد واسط چاه قند در

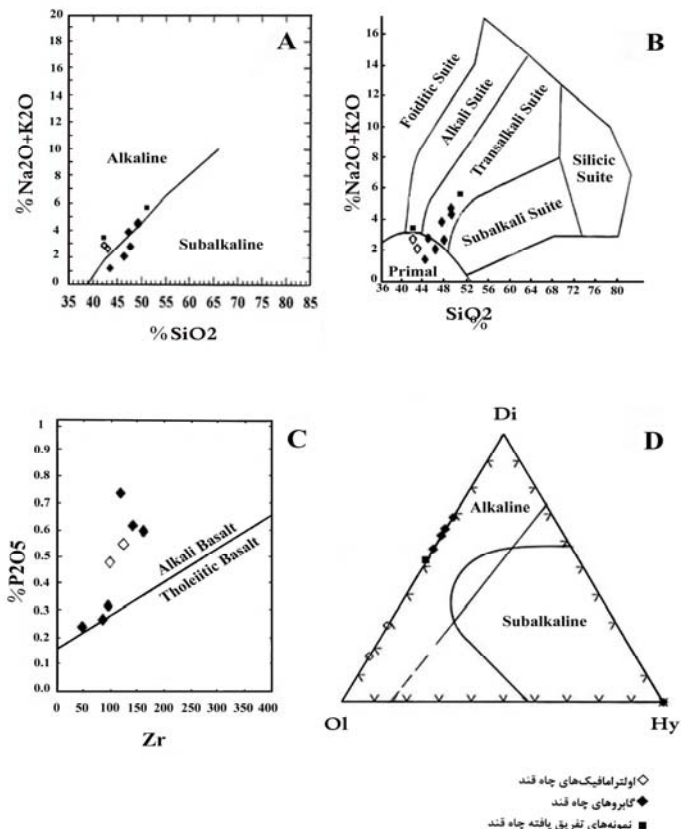
نمودارهای مختلف تعیین سری مانگماهی

Irvine& Baragar (1971) (A)

Middlemost (1991) (B)

Winchester & Floyd (1977) (C)

Irvine& Baragar (1971) Opx-Cpx- Ol (نمودار ۳ تایی) (D)



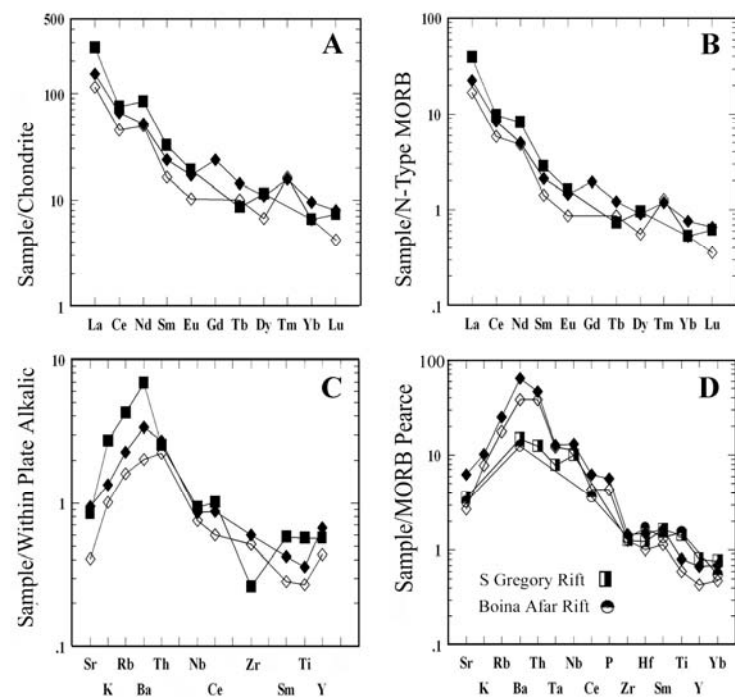
شکل ۷- نمودارهای چند عنصری سنگهای اولترامافیک تا حد واسط توده نفوذی مجموعه چاه قند که با الگوهای مختلف عادی سازی شده اند.

Taylor & McLennan (1985) (A)

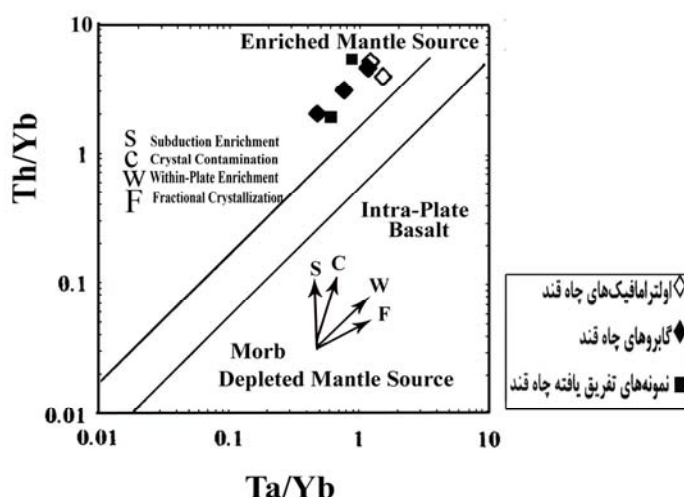
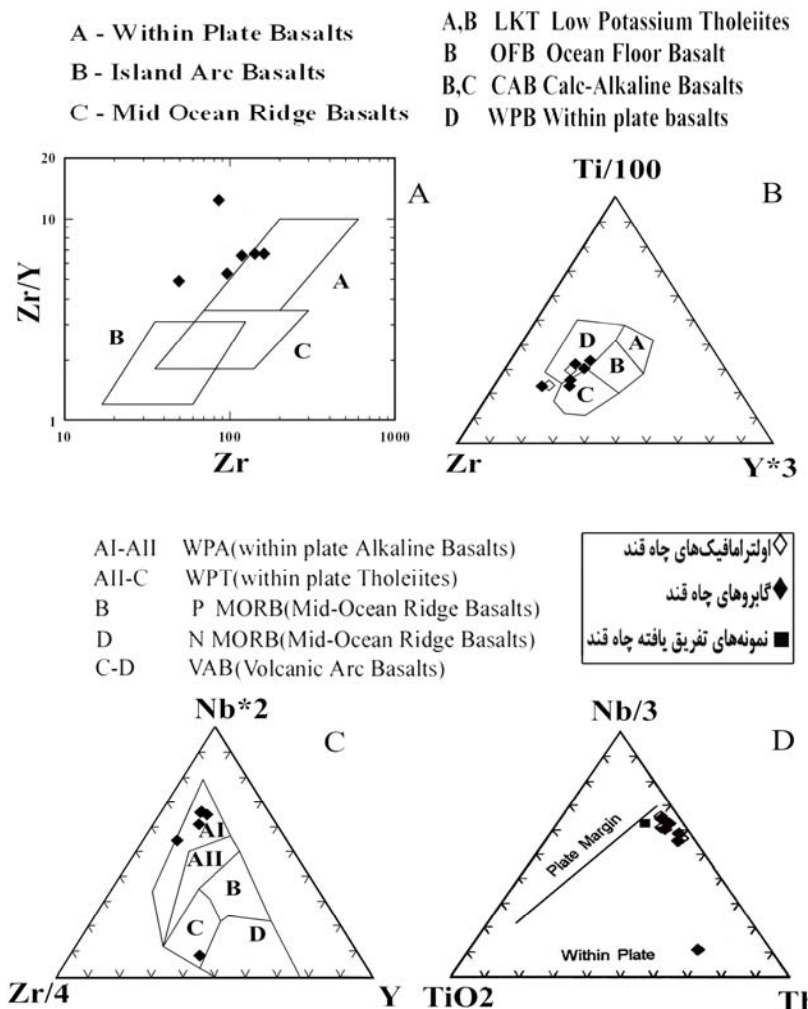
Sun & Mc Donough (1989) N (B)

Sun (1980) بازالتی قلایی درون صفحه ای (C)

Pearce (1983) مورب (D)



شکل ۸- نمودارهای تفکیکی مشخص کننده جایگاه زمین ساختی ماگمایی اولیوین گابروها و گابروهاي چاه قند (A) نمودار Zr/Y در برابر Zr (Prance & Norry 1979) (B) نمودار Pearce & Cann (1973) Ti/100-Zr-Y*3 (C) نمودار Meschede Zr/4-Nb*2-Y (1986) (D) نمودار Holm (1985) TiO₂-Nb/3-Th



شکل ۹- بررسی تأثیرات احتمالی عوامل آلاینده در نمونه‌های اولترامافیک تا حد واسط مجموعه چاه قند، نمودار Th/Yb در برابر Ta/Yb (Pearce 1980)

جدول ۱ - نتایج تجزیه شیمیایی سنگهای اولترامافیک تا حد واسط مجموعه چاه قند

Sample	Ch9	Ch68	Ch63	Ch40	Ch51	Ch1	Ch26	Ch32	Ch39	Ch45
Rock type	Ol-PYROXENITE	Ol-Gabbro	Ol-Gabbro	Ol-Gabbro	Gabbro	Gabbro	Gabbro	Gabbro-Diorite	Diorite	Q-Diorite
SiO ₂ (wt%)	42.5	43.26	49.33	43.92	47.65	49.31	47.37	46.44	42.4	50.9
TiO ₂	0.81	0.99	1.02	0.66	0.53	1.34	1.36	1.08	2.41	1.9
Al ₂ O ₃	8.07	8.89	16.82	13.08	17.8	14.84	15.91	10.71	16.84	17.38
Fe ₂ O ₃ T	12.9	11.29	7.07	10.2	6.53	8.12	8.95	8.86	9.02	10.11
MnO	0.2	0.17	0.13	0.16	0.13	0.16	0.17	0.16	0.13	0.15
MgO	26.25	23.81	8.15	15.68	10.32	8.81	8.59	14.77	8.24	5.58
CaO	5.73	8.42	12.23	14.59	13.93	12.37	12.97	15.5	14.55	6.67
Na ₂ O	1.67	1.58	3.22	1.03	1.54	2.75	2.18	1.12	2.22	2.5
K ₂ O	1.26	1.06	1.38	0.4	1.28	1.67	1.71	1.01	1.3	3.13
P ₂ O ₅	0.56	0.48	0.62	0.24	0.27	0.6	0.74	0.32	2.87	1.64
Total	99.95	99.95	99.97	99.96	99.98	99.97	99.95	99.97	99.98	99.96
D_I	17.13	14.75	31.62	6.71	19.01	30.46	25.73	11.64	21.75	41.19
Na ₂ O+K ₂ O	2.93	2.64	4.6	1.43	2.82	4.42	3.89	2.13	3.52	5.63
Trace Element										
Ba (ppm)	775.5	762	1100	312	729	1175	1467	731	1437	2600
Rb	41.8	29.1	53.1	7	36	49	47.1	26	22.95	92.65
Sr	332	316	708	634	762	635	799	482	1256	671.5
Y	12	14	21	10	7	24	18	18	40	17
Zr	124	99	141	49	86	161	118	96	75	57
Nb	40	39	54	1	17	63	37	39	41	49
Th	9.45	5.76	11.8	2.05	4	11	6.74	6	5.72	8.6
Hf	2.81	1.9	3.48	1.43	6	5	3.65	10	2.54	2.13
Ta	2.15	2.17	2.96	0.48	nd	nd	1.67	nd	1.75	1.38
La	51	32.7	67.2	22.5	30	80	46.6	54	22.9	98
Ce	45.6	40.6	69.9	24.2	57	133	56.4	107	110	72.5
Nd	39	31	38.7	11	20	54	34	36	72.35	59.45
Sm	3.74	3.67	5.89	4.26	nd	nd	5.09	nd	8.23	7.46
Eu	0.94	0.81	1.49	1.04	nd	nd	1.46	nd	2.65	1.64
Gd	28.8	nd	nd	7.26	nd	nd	nd	nd	18.9	nd
Tb	0.44	0.71	0.53	0.52	nd	nd	1.11	nd	1.33	0.49
Dy	2.49	2.56	3.7	2.32	nd	nd	4.59	nd	7.34	4.36
Tm	0.44	0.72	0.41	nd	nd	nd	0.69	nd	nd	nd
Yb	1.78	1.44	2.53	1	nd	nd	2.17	nd	2.91	1.6
Lu	0.14	0.18	0.28	0.17	nd	nd	0.32	nd	0.39	0.28
Nb/Y	3.33	2.79	2.57	0.1	2.43	2.63	2.06	2.17	1.03	2.88
Zr/Y	10.33	7.07	6.71	4.9	12.29	6.71	6.56	5.33	1.88	3.35
(La/Lu)n	37.86	18.88	24.91	13.75	nd	nd	15.12	nd	6.09	36.33
(La/Yb)n	19.35	15.34	17.95	15.21	nd	nd	14.51	nd	5.32	41.4
Eu/Eu*	0.86	0.64	0.94	0.82	nd	nd	0.8	nd	0.99	0.91
Modal										
Q	0	0	0	0	0	0	0	0	0	6.3
A	0	0	0	0	0	0	0	0	0	0
p	6.86	8	33.93	30.63	55.65	36.4	39.31	53.30	43	58.83
CIPW Norms										
Di	11.56	20.03	24.04	33.23	23.9	28.1	25.63	43.29	18.85	0
Hy	0	0	0	0	0	0	0	0	0	24.57
Ol	55.03	45.85	12.12	26.11	16.14	12.59	13.85	19.19	14.31	0

nd. Not detected ; Q- Quartz ; Or – Orthoclase ; Ab- Albite ; An-Anorthite ; Ne- Nepheline ; Lc- Leucite ; Di Diopside ; Hy- Hypersthene ; Ol-Olivine
 Data of this report were determined by XRF (analyses at Shaid Beheshti University, Tehran) and INAA (analyses at the Isfahan's Atomic Energy Agency)

کتابنگاری

بارکر، آ.جی، ۱۳۷۸ - دیباچه ای بر بافتها و ریزاستختهاي دگرگونی، ترجمه سید احمد مظاہری و فرزین قائمی، دانشگاه فردوسی مشهد، ۲۷۸ صفحه.

سبزه‌بی و همکاران، ۱۹۹۵ - نقشه زمین شناسی ۱/۱۰۰۰۰ چهارگوش کرسفید - سازمان زمین شناسی کشور.

محجل، م. و سهندی، م. ر، ۱۳۷۸ - تکامل تکتونیکی پهنه سنتدج - سیرجان در نیمه شمال باختری و معروفی زیر پهنه‌های جدید در آن، فصل نامه علوم زمین، سازمان زمین شناسی واکنشات معدنی کشور، شماره ۳۲-۳۱، ۴۹-۲۸.

هاج، اف. اچ، ولس. آ.ک و ولس. ام. ک، ۱۹۷۵ - پترولولژی سنگهای آذرین، ترجمه هدایت خلیلی، چاپ و انتشارات دانشگاه مشهد.

یاردلی، بروس، ۱۳۷۲ - مبانی پترولولژی دگرگونی، ترجمه: علی کعناییان، حبیب الله قاسمی و عباس آسیابانه، نشر ماجد.

References

- Baker. B. H., Goles, G. G., Leeman, W.P. & Lindstrom, M. M., 1977- Geochemistry and petrogenesis of a basalt-benmoreite-trachyte suite from the southern part of the Gregory Rift, Kenya. *Contrib.Minearal. Petro l.* 64, 303-32..
- Barberi, F., Ferrara, G., Santacroce, R., Treuil, M., & Varet, J., 1975- A Transitional basalt-pantellerite sequence of fractinal crystallization, the Boina Centre, (Afar Rift,Ethiopia).*J. Petrol.* 16, 22-56.
- Cox, K. G., Bell, J. D. and Pankhurst, R. J., 1979- The inter pretation of igneous rocks. George Allen and unwin, London. 450 pp.
- Harker, A., 1909- The natural history of igneous rocks. New york Macmillan.
- Holm, P. E, 1985- The geochemical fingerprints of different tectonomagmatic environments using hygromagmatophile elements abundances of tholeiitic basalts and basaltic andesites. *Chemical Geology* 1: 303-3523.
- Irvine, T. N., and Baragar, W. R. A., 1971- A guide to the chemical classification of the common volcanic rocks, Canadian Journal of Earth Sciences, Vol. 8 /pp. 523-548.
- Meschede, M, 1986 - A method of discriminating between different types of mid-ocean-ridge basalt and continental tholeiites with the Nb-Zr-y diagram: chemical Geology, V. 56, p. 207-218.
- Middlemost, E. A. K., 1991- Towards a Comprehensive Classification of Igneous rocks and magmas, *Earth, Sci, Rev.* 31, pp. 73-87.
- Miyashiro, A., 1978 - Nature of alkalic volcanic rock series, *contrib. Mineral. Petrol.*, 66, 91-104
- Pearce J. A., 1980 - Geochemical evidence of the genesis and eruptive setting of lavas from Tethyan ophiolites. – Ophiolites, proceed. Intern. Ophiol. Symp. (panayiton A., ed): 261-272. Cyprus.
- Pearce, J.A., 1983 - Role of sub- Continental lithosphere in magma genesis at active continental margins, In: Hawkesworth, C. I and M. J. Norry (eds) Continental Basalts and Mantel xenoliths, shive, Nantwich, p. 230-249.
- Pearce, J. A. and Cann, J. R., 1973- Tectonic setting of basic volcanic rocks determined using trace element analyses, *Earth and Planetary science Letters*, Vol. 19, pp 290-300.
- Prarce, J. A., Norry, M. J., 1979- petrogenetic implications of Ti, Zr, y and Nb variations in volcanic rocks. Contributions to Mineralogy and petrology 69: 33-47.
- Sabzehi, and Watters,1972- Geology and petrography of the Metamorphic and Igneous complex of the central part of the Neyriz Quadrangle.
- Streckeisen, A. L., 1979- Classification and nomenclature of volcanic rocks lamprophyres, carbonatites and melilitic rocks: recommendation and suggestions of the Iugs subcomision on the systematics of Igneous Rocks. *Geology*, 7, P. 331-335.
- Sun, S. S., 1980 - Lead isotopic study of young volcanic rocks from mid- ocean ridges, ocean islands and island arcs.*Phil Trans R.Soc. Land.*A297, 409- 45 .
- Sun, S. S., and Mc Donuugh, W. F., 1989- chemical and isotopic systematics of oceanic basalts; implrcations for mantle composition and processes. In Magmatism in the Ocean Basins. Edited by A. D.Saunders and M.J.Norry. Geological Society special publication 42, pages 313-345
- Taylor, S. R. and McLennan, S. M., 1985- The continental crust: Its composition and evolution, Black well, oxford, 312p.
- Wilson, M., 1989 - Igneous petrogenesis, unwin. Hyman, London 466pp3-Barberi,F.,G.Ferrara, R. Santacrose, M. Treuil & J. Varet,1975 - A transitional basalt-pantellerite sequenence of fractinal crystallisation, the Boina Centre, (Afar Rift, Ethiopia).*J.Petrol.*16, 22-56.
- Winchester, J. A. and. Floyd, P. A., 1977- Geochemical discrimination of different magma series and their differentiation products using immobile elements, *chemical Geology*, vol. 20, pp. 325-343.

* گروه زمین شناسی دانشگاه پیام نور، شیراز، ایران

** دانشکده علوم زمین، دانشگاه شهید بهشتی، تهران، ایران

* Geology Department, Payam-e-Nour University, Shiraz, Iran

**Geology Department, Faculty of Earth Sciences, Shahid Beheshti University, Tehran,Iran